



Рисунок 2: Сравнение отражений от катета и гипотенузы

$\alpha$	$2\phi_1$
10°	64.5°
20°	69.4°
30°	74.5°
40°	79.2°
50°	84.4°
60°	89.4°
70°	94.5°
80°	99.5°
90°	104.0°
100°	109.0°
110°	114.2°
120°	120.0°
130°	124.0°
140°	129.0°

Отражение от катета

$\alpha$	$2\phi_2$
10°	282°
20°	287.8°
30°	292.8°
40°	298°
50°	303°
60°	307.5°
70°	312°
80°	318°
90°	323°
100°	328°
110°	333°
120°	338°
130°	343°
140°	347.5°

Отражение от гипотенузы

$2\phi$	$(180 + \psi_0)$	$(180 + \psi_e)$
10°	216.0°	203.5°
20°	211.5°	201.8°
30°	209.2°	200.8°
40°	208.0°	200.5°
50°	207.1°	200.3°
60°	207.0°	200.3°
70°	207.0°	201.2°
80°	207.5°	202.0°
90°	208.0°	203.0°
100°	209.5°	204.0°
110°	211.0°	206.0°
120°	213.0°	208.2°
130°	215.5°	210.5°
140°	218.5°	213.5°

Таблица 1: Зависимость углов отклонения от угла падения

$$n = \frac{\sin\left(\frac{\psi_m + A}{2}\right)}{\sin\left(\frac{A}{2}\right)} \quad (4)$$

$$n_e = 1.65 \pm 0.05 \quad (5)$$

$$n_o = 1.50 \pm 0.05 \quad (6)$$

Теперь построим график зависимости показателя преломления от  $\cos(\theta)^2$ :

## 2 Вывод

В работе были изучена зависимость показателя преломления необыкновенной волны от направления ее распространения в двоякопреломляющем кристалле. Несколькими способами были определены значения главных показателей преломления обыкновенной и необыкновенной волны.

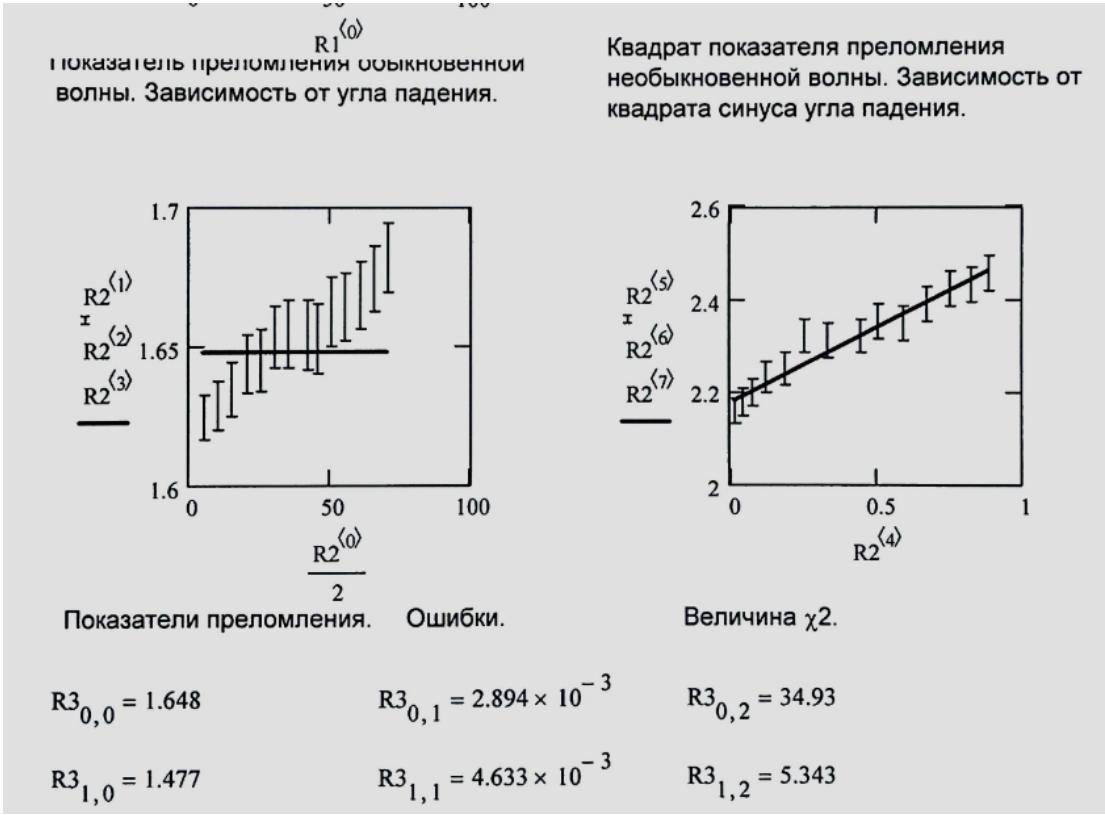


Рисунок 3: Результаты